

28 225 3a

**И Н С Т И Т У Т
ЯДЕРНОЙ ФИЗИКИ СОАН СССР**

ПРЕПРИНТ И Я Ф 16 - 73

С.И.Баранник, С.Б.Вассерман, А.Н.Лукин

**ИЗМЕРЕНИЕ СОПРОТИВЛЕНИЯ И ИНДУКТИВ -
НОСТИ КАНАЛА МОЩНОГО ИСКРОВОГО
РАЗРЯДА В ГАЗЕ**

Новосибирск

1973

ИЗМЕРЕНИЕ СОПРОТИВЛЕНИЯ И ИНДУКТИВНОСТИ КАНАЛА МОЩНОГО ИСКРОВОГО РАЗРЯДА В ГАЗЕ

С.И.Баранник, С.Б.Вассерман,

А.Н.Лукин

А Н Н О Т А Ц И Я

В работе приводятся методика и результаты измерения сопротивления и индуктивности искрового канала длиной 40 см в воздухе, элегазе (SF_6) и смесях элегаза с азотом при давлениях до 12 атм и напряжениях до 5 Мв с инициированием разряда тригatronным поджигом.

На основании полученных данных вычислены числовые значения констант в функциональных зависимостях, полученных из теории Брагинского, которые связывают радиус искрового канала и его сопротивление с током разряда в функции времени.

Изучение электрических параметров искрового канала проводилось в связи с разработкой генераторов мощных импульсов релятивистских электронных пучков наносекундной длительности, в которых характеристики высоковольтного разрядника существенно влияют на параметры электронного пучка (форма и длительность импульса тока, максимальная энергия и энергетический спектр электронов, суммарная энергия электронов пучка в импульсе).

Эксперименты проводились на генераторе релятивистских электронных пучков наносекундной длительности РИУС-5 /1/. Искровой канал является частью разрядной цепи генератора, в состав которой, кроме того, входят следующие элементы: высоковольтный электрод (кондуктор), электрод ускорительной трубки с катодом и вакуумный ускорительный промежуток.

Геометрические размеры элементов и всей системы в целом, с одной стороны, и экспериментально наблюдаемые скорости изменения токов и напряжений в цепи, с другой стороны, позволяют рассматривать разрядную цепь как цепь с сосредоточенными параметрами. Её электрическая схема представлена на рис.1 и описывается уравнениями (1-5). Конструктивная схема части генератора, образующей разрядную цепь, изображена на рис.2а:

$$U_k = \left[R_u(t) + \frac{dL_u(t)}{dt} \right] i_u + L(t) \frac{di_u}{dt} + U_{тр}, \quad (1)$$

$$i_u = C_{тр} \frac{dU_{тр}}{dt} + i_{тр}, \quad (2)$$

$$U_k = U_{k0} - \frac{1}{C_k} \int_0^t i_u d\nu, \quad (3)$$

$$L(t) = L_u(t) + L_{тр}, \quad (4)$$

$$i_{тр} = \frac{U_{тр}}{R_H} \quad (5)$$

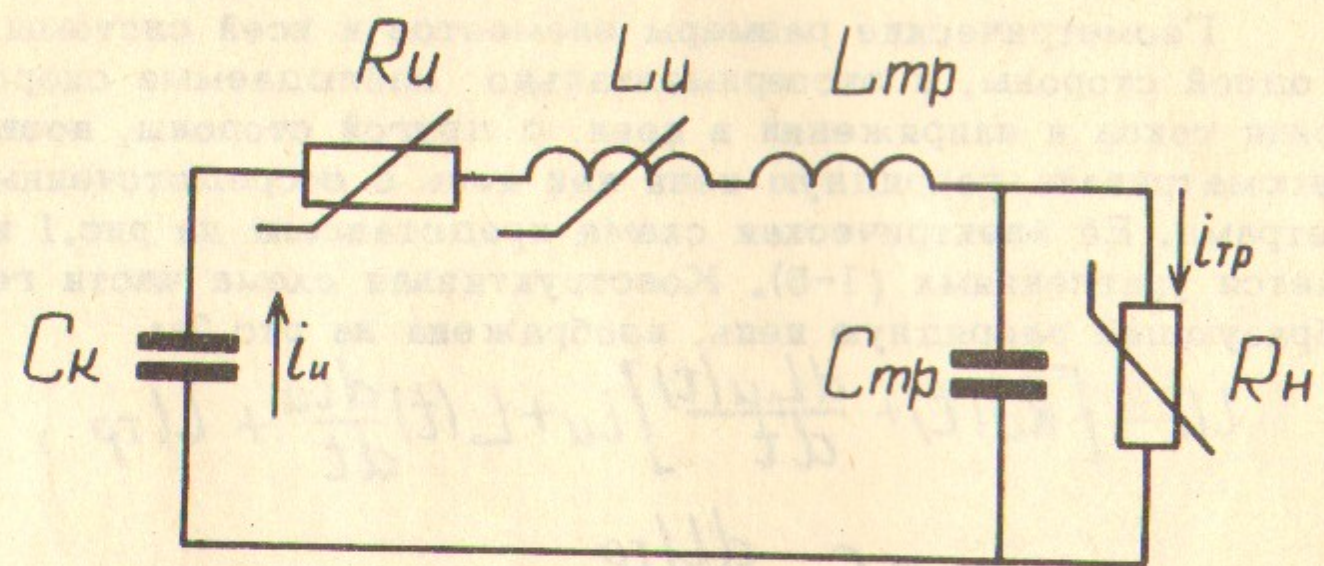


Рис.1. Электрическая схема разрядной цепи

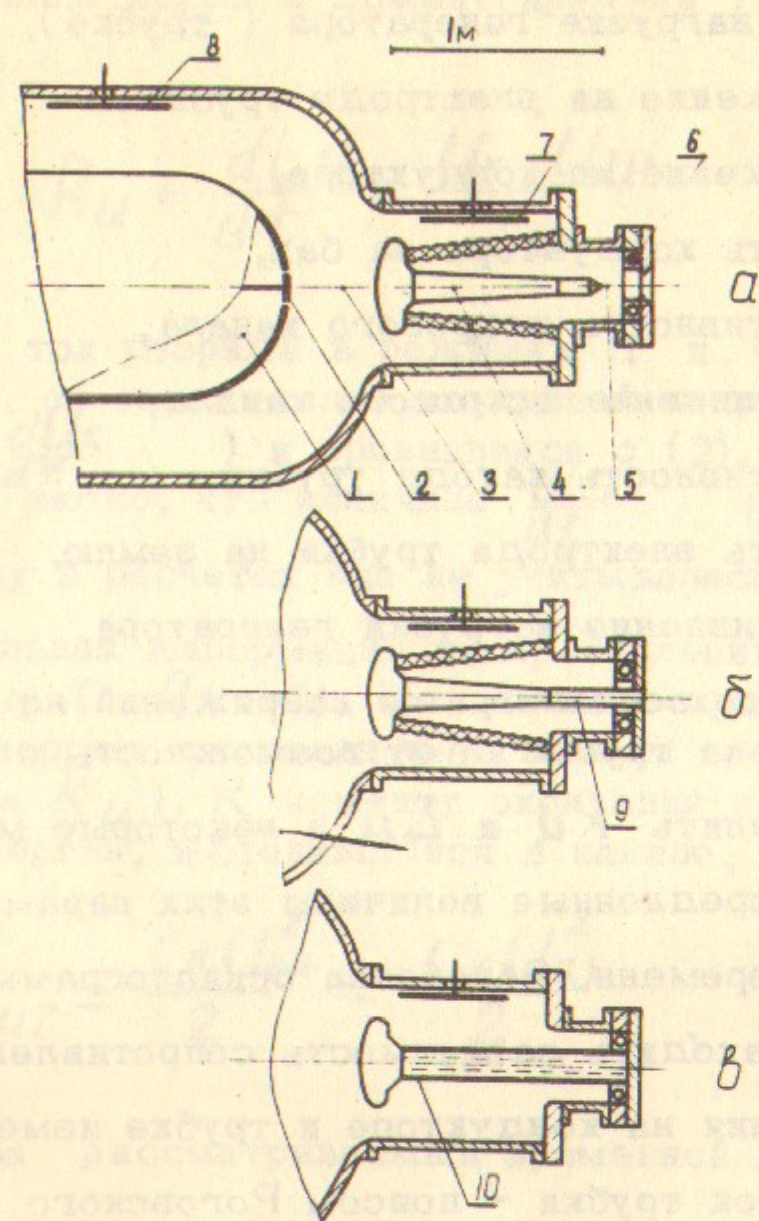


Рис.2. Конструкция установки.

1-Высоковольтный электрод (кондуктор); 2-поджигающий электрод; 3-газовый разрядный промежуток; 4-электрод трубки с катодом; 5-вакуумный ускорительный промежуток; 6-пояс Роговского; 8,7-емкостные датчики; 9-закорачивающий электрод; 10-водяное сопротивление.

а-рабочий режим; б-режим короткого замыкания нагрузки; в-режим нагрузки постоянным сопротивлением.

где i_u - ток в искровом канале,
 $i_{тр}$ - ток в нагрузке генератора (трубка),
 $U_{тр}$ - напряжение на электроде трубки,
 U_k - напряжение на кондукторе,
 C_k - емкость кондуктора на бак,
 $L_u(t)$ - индуктивность искрового канала,
 $R_u(t)$ - сопротивление искрового канала,
 $L_{тр}$ - индуктивность катода трубки,
 $C_{тр}$ - емкость электрода трубки на землю,
 R_H - сопротивление нагрузки генератора.

Использование осциллограмм напряжений на кондукторе и трубке, а также-тока трубки даёт возможность с помощью уравнений (1-5) определить R_u и L_u в некоторые моменты времени, а также - усредненные величины этих параметров на некоторых интервалах времени. Обработка осциллограмм тока и напряжений позволяет находить зависимость сопротивления искры от времени. Напряжения на кондукторе и трубке измерялись емкостными датчиками, ток трубки - поясом Роговского [2] с регистрацией сигналов осциллографом ОК-19М. Расположение датчиков видно на рис.2.

Аналізу было подвергнуто три режима:

- а) рабочий режим ускорителя (в общем случае $R_H \neq const$, рис. 2а);
- б) режим короткого замыкания ускорительного промежутка ($R_H = 0$, рис.2б);
- в) режим с заменой ускорительной трубки водяным эквивалентом ($R_H = const$, рис. 2в).

В последнем случае использовались различные концентрации раствора KCl в воде, заполнявшего трубу из винипласта.

Типичные осциллограммы всех трех режимов приведены на рис.3. Сопротивление искры в момент времени t_1 ($\frac{di_u}{dt} = 0$) из уравнения (1)

$$R_u + \frac{dL_u}{dt} = \frac{U_k - U_{тр}}{i_u}$$

Поскольку ток разряда в режимах а и б непосредственно не измерялся, он определялся по кривой напряжения на кондукторе ($i_u = C_k \frac{dU_k}{dt}$) и сравнивался с (2). По данным измерений (см.ниже) видно, что величина $\frac{dL_u}{dt}$ не превышает 5% от R_u , поэтому в расчетах она не учитывалась.

Дополнительная информация о сопротивлении искры была получена в опытах к.э. ($R_H = 0$). Из закона сохранения энергии можно определить энергию, рассеянную активным сопротивлением цепи (в данном случае R_u). К моменту окончания первой полуволны тока (t_2) энергия, выделившаяся в канале,

$$W_{RuI} = \frac{C_k U_{k0}^2}{2} - \frac{C_k U_{k1}^2}{2}$$

Эквивалентное за рассматриваемый временной интервал сопротивление

$$R_{u экв I} = \frac{W_{RuI}}{\int_0^{t_2} i^2 dt}$$

Аналогично определялась величина эквивалентного по потерям сопротивления искры за второй полупериод. Индуктивность искрового канала определялась из опытов к.э. по периоду колебаний. Из формулы

$$\frac{T}{2} = \frac{\pi}{\sqrt{\frac{1}{L_{экв} C_k} - \frac{R_{u экв}}{4L_{экв}^2}}}$$

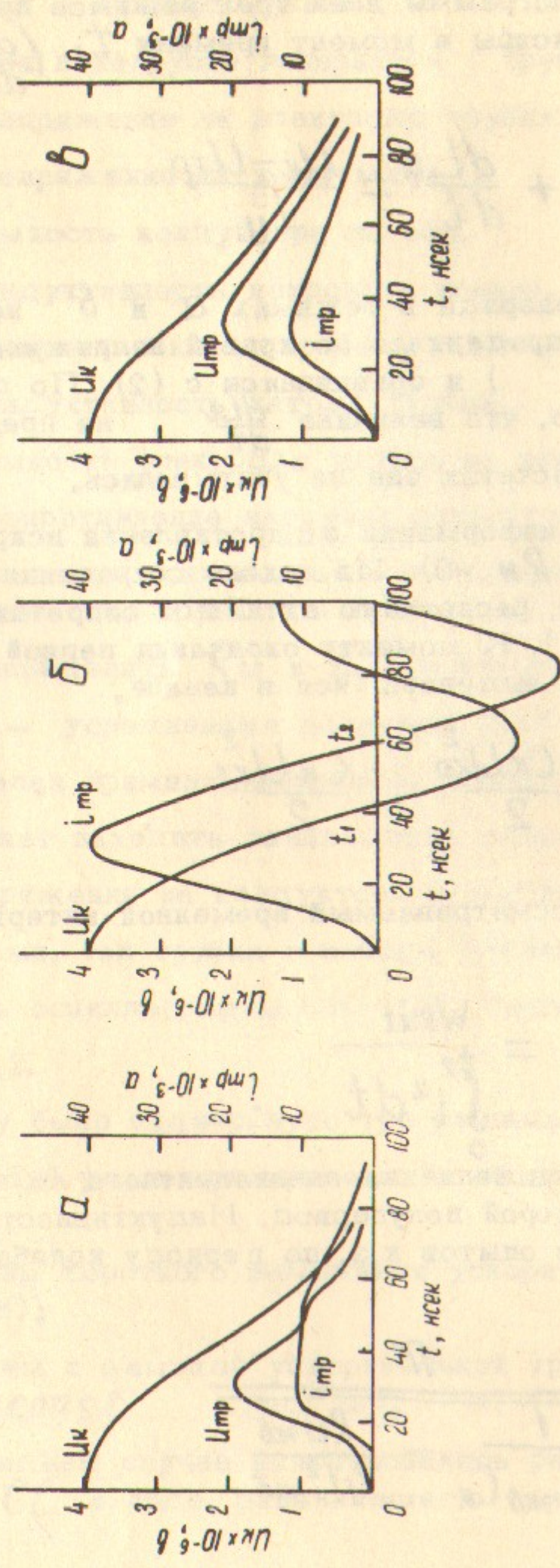


Рис.3. Типичные эсциллограммы токов и напряжений.
а - рабочий режим; **б** - режим короткого замыкания;
в - режим нагрузки постоянным сопротивлением.

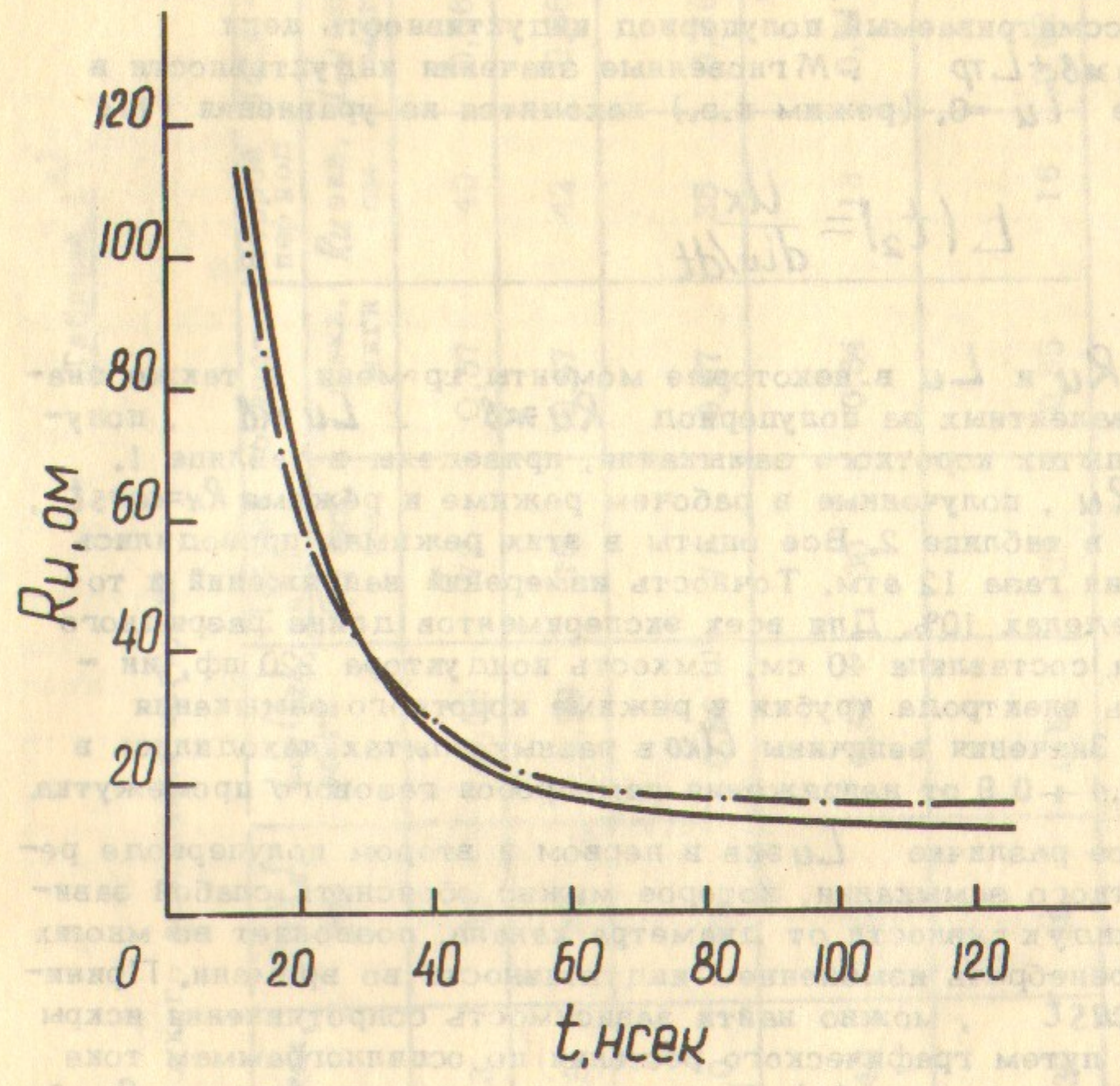


Рис.4. Зависимость сопротивления искры во времени в одном из режимов. Штрихпунктирная кривая - результат обработки эсциллограмм, сплошная - расчетная по формуле (10).

можно по известным $T/2$, C_k и $R_{uэжв}$ вычислить эквивалентную за рассматриваемый полупериод индуктивность цепи $L_{эжв} = L_{uэжв} + L_{тр}$. Мгновенные значения индуктивности в точках, где $i_u = 0$, (режим к.з.) находятся из уравнения (1):

$$L(t_2) = \frac{U_k}{di_u/dt}$$

Величины R_u и L_u в некоторые моменты времени, а также значения эквивалентных за полупериод $R_{uэжв}$ и $L_{uэжв}$, полученные в опытах короткого замыкания, приведены в таблице 1. Значения R_u , полученные в рабочем режиме и режиме $R_n = const$, приводятся в таблице 2. Все опыты в этих режимах проводились при давлении газа 12 атм. Точность измерений напряжений и токов - в пределах 10%. Для всех экспериментов длина разрядного промежутка составляла 40 см. Емкость конденсатора 220 пф, индуктивность электрода трубки в режиме короткого замыкания 0,58 мкГн. Значения величины $U_{ко}$ в разных опытах находились в пределах 0,4 - 0,9 от напряжения самопробоя газового промежутка.

Малое различие $L_{uэжв}$ в первом и втором полупериоде режима короткого замыкания, которое можно объяснить слабой зависимостью индуктивности от диаметра канала, позволяет во многих расчетах пренебречь изменением индуктивности во времени. Принимая $L_u = const$, можно найти зависимость сопротивления искры от времени путем графического решения по осциллограммам тока и напряжения уравнения (1). Результат расчета для режима $R_n = 0$ в смеси SF_6 и N_2 в отношении 1 : 1 с давлением 12 атм при $U_{ко} = 3,5$ Мв приведен на рис.4. Аналогичные кривые могут быть построены и для других экспериментов.

Обсуждение полученных результатов

Из известных теорий, описывающих параметры искрового канала, наиболее обоснованной, по-видимому, является теория Брагинского [3]. Интегрирование основного дифференциального уравнения модели канала, принятой в теории,

$$2\pi^2 r_0 a_u^3 \dot{a}_u^3 \zeta = \frac{i_u^2}{\sigma},$$

Таблица 1^{х)}

Режим короткого замыкания нагрузки

Газ	Давление, атм.	$U_{ко}$, Мв	$i_{u\max}$, ка	$R_{u(t_2)}$, Ом	$L_{u(t_2)}$, мкГн	Первый полупериод		Второй полупериод	
						R_u экв., Ом	L_u экв., мкГн	R_u экв., Ом	L_u экв., мкГн
Воздух	12	1,0	6,3	77	0,56	73	0,57	40	0,56
Воздух	6	0,9	5,6	80	0,56	75	0,57	42	0,56
Элегаз SF_6	3	1,4	7,0	80	0,56	71	0,57	35	0,56
Смесь $SF_6 + N_2$ 1 : 9	12	4,0	40	32	0,52	30	0,54	13	0,51
Смесь $SF_6 + N_2$ 1 : 1	12	3,5	30	39	0,53	37	0,55	16	0,52

х) Для каждого вида газа проводилось 3-5 опытов; разброс результатов не превышал, как правило, $\pm 15\%$, в таблице приведены средние величины.

Таблица 2

Режим	$L_{тр},$ мкГн	$C_{тр},$ пФ	Состав газа $SF_6 : N_2$	$U_{ко},$ МВ	$i_{u\max},$ ка	$R_u(t_1)$ ом
Рабочий	0,55	44	1:9	4,0	14	70
			1:1	4,7	16	60
$R_H = const$	0,28	40	1:1	4,7	17	57
					20	53
					23	50

дает зависимость радиуса канала во времени с момента t_0 когда канал сформировался,

$$a_u(t) = \left[\left(\frac{4}{\rho_0 \pi^2} \right)^{1/3} \int_{t_0}^t \left(\frac{i_u^2}{\sigma \zeta} \right)^{1/3} dt + a_u^2(t_0) \right]^{1/2} \quad (6)$$

где ρ_0 - плотность газа, в котором производится разряд,
 σ - электропроводность плазмы в канале,

$$\zeta = K_p \left[1 + (\gamma - 1)^{-1} \frac{1}{2} \frac{d^2 a_u^2}{dt^2} \right], \quad (7)$$

$$K_p = \frac{2}{\gamma + 1} - \text{коэффициент расширения,}$$

$$\gamma - \text{эффективный показатель адиабаты /4/.$$

Применяя теорию к описанию геометрических и электрических параметров искрового канала, мы принимаем, во-первых, что канал имеет прямую цилиндрическую форму, а, во-вторых, что температура, давление и плотность газа в нем постоянны по сечению. В наших экспериментах геометрические характеристики канала не регистрировались, однако, имеющиеся в литературе данные для длинных каналов (см., например, /5/) показывают, что в условиях, аналогичных описываемым, искровой канал обычно не является однородным и прямым. Однако в описанных экспериментах и при эксплуатации установки РИУС-5 осциллограммы тока и напряжений в одинаковых условиях практически не различались для многих измерений. Можно, следовательно, считать, что для интересующих нас целей электрические параметры искрового канала являются стабильными, и замена реальной геометрии канала эквивалентной является вполне оправданной.

Для возможности применения теории Брагинского необходимо выполнение условия $P_M / P_r \ll 1$, где P_M и P_r - соответственно магнитное давление на канал и газокINETическое давление в нем. Согласно /6/

$$\frac{P_M}{P_r} = 1.4 \left(\frac{\rho_B}{\rho_0} \right) \left(\frac{i_u}{a_u a_u} \right)^2 \quad (8)$$

Здесь ρ_B - плотность воздуха при нормальных условиях.

Оценим величину P_M / P_r для режима с максимальным током i_u , т.е. для опыта к.з. в следующих условиях:

$$U_{ко} = 4.0 \text{ МВ}; i_u(t_1) = 40 \text{ ка}; \rho_B / \rho_0 \approx 0.08;$$

$$a_u(t_1) \approx 4 \cdot 10^{-2} \text{ см}; \dot{a}_u(t_1) \approx 10 \frac{\text{см}}{\text{сек}} \quad (a_u \text{ и } \dot{a}_u \text{ получены}$$

из формулы (9)). Для этого режима имеем $P_M / P_r \approx 0.1$.

Как показано в Приложении при температурах плазмы, существующих в искровом канале, входящие в выражение (6) величины σ и ζ (7) могут приниматься постоянными во времени и мо-

гут быть вынесены из под знака интеграла.

В литературе отсутствуют данные по величине начального радиуса искрового канала ($a_u(t_0)$) в длинных промежутках, поэтому формулу (8) для $a_u(t)$ заменяем приближенной, в которой величина $a_u(t_0)$ опущена:

$$a_u(t) \approx K_1 \rho_0^{-1/6} \left[\int_{t_0}^t i_u^{2/3}(v) dv \right]^{1/2}, \quad (9)$$

где $K_1 \approx \left(\frac{4}{\pi^2 \sigma^3} \right)^{1/6}$ и определяется экспериментально для каждого рода газа и давления по величине L_u в момент времени t_2 (таблица 3).

Таблица 3.

Состав газа	Давление, атм	l_u , см	$K_1, \alpha^{1/3} \text{сек}^{-1/2} \cdot \text{см}^{1/2}$	$K_2 \times 10^5, \text{ом} \cdot \alpha^{2/3} \text{сек} \cdot \text{см}^{-1/3}$
Элегаз	3	40	4.6	7.5
смесь $\text{SF}_6 + \text{N}_2$ 1 : 1	12	40	4.9	6.4
Смесь $\text{SF}_6 + \text{N}_2$ 1 : 3	12	40	4.9	6.5
Воздух	12	40	4.7	7.2
Воздух	6	40	4.6	7.6
Воздух ^{х)}	1	0.8	4.9	6.5

х) В последней строке таблицы представлены коэффициенты, полученные в результате обработки данных, приводимых в работе /8/ для воздушного промежутка длиной 0.8 см.

При вычислении интеграла в ф-ле (9) за момент t_0 принимался видимый на осциллограмме момент начала импульса тока. Более строгое определение момента окончания формирования канала, по-видимому, возможно /7,8/, но особого интереса не представляет, так как за время формирования канала заметных изменений в рассматриваемых системах, с точки зрения переноса энергии, не происходит. В последующем вместо t_0 в формулах будем брать $t=0$.

В силу принятых допущений и метода определения коэффициента K_1 по величине индуктивности, связанной с радиусом канала логарифмически, точность определения a_u по выражению (9) получается весьма низкой. Однако, для интересующей нас цели - возможности расчета индуктивности искрового канала (кроме начального периода) - это обстоятельство несущественно.

Сопротивление искрового канала

$$R_u(t) = \frac{l_u}{6\pi a_u^2} \approx l_u \frac{K_2 \rho_0^{1/3}}{\int_0^t i_u^{2/3}(v) dv}, \quad (10)$$

где l_u - длина разрядного промежутка,

K_2 - коэффициент, определяемый экспериментально для каждого вида газа и давления по величине сопротивления искрового канала в момент t_1 (таблица 3). Коэффициенты K_2 и K_1 связаны соотношением $K_2 = 1/6\pi K_1^2$.

На рис.4 приводится зависимость $R_u(t)$, рассчитанная по формуле (10). Совпадение с кривой, построенной по осциллограммам, вполне удовлетворительное. Расхождение кривых при малых временах объясняется, очевидно, заниженной величиной радиуса канала в этот период времени, получаемой из выражения (9). Представляет интерес оценка величины начального радиуса канала по ф-ле (6), при которой обе кривые совместились бы в момент $t_0 \approx 10 \text{ нсек}^x$ (при условии совмещения и в момент t_1).

х) Согласно /8/ за t_0 принят момент, когда производная тока в канале достигает максимальной величины.

Если принять, что в момент t_0 проводимость плазмы достигает квазистабильной величины, равной примерно $200 \text{ ом}^{-1} \text{ см}^{-1}$ (см. Приложение), величина $a_u(t_0) \approx 0,25 \text{ мм}$. Это не противоречит известным фактам. В работе /8/ приводятся результаты измерений $a_u(t_0)$ для коротких воздушных промежутков ($\rho \cdot d = 600 \text{ тор.см}$). В этих условиях величина $a_u(t_0)$ получалась равной $0,1 + 0,12 \text{ мм}$.

Как видно из таблицы 3, величины коэффициентов K_1 и K_2 практически не зависят от вида газа и его давления. Это объясняется, по-видимому, тем, что при одинаковых электронных температурах электропроводность различных сильно ионизованных газов практически одинакова /9/. Кривые рис.5 (Приложение) также подтверждают это.

Таким образом, для расчета электрических параметров высоковольтных газовых разрядников могут использоваться приведенные выше приближенные временные зависимости для радиуса и сопротивления искрового канала с усредненными общими константами для рассмотренных (таблица 3) случаев:

$$a_u(t) \approx 4,8 \rho_0^{-1/6} \left[\int_0^t i_u^{2/3}(v) dv \right]^{1/2} \text{ см}, \quad (11)$$

$$R_u(t) \approx l_u \frac{7 \cdot 10^{-5} \rho_0^{1/3}}{t \int_0^t i_u^{2/3}(v) dv} \text{ ом}, \quad (12)$$

где ρ_0 - плотность газа в разряднике в г/см^3 , l_u - длина разрядного промежутка, см, $i - \alpha$, t - сек.

Формулы (11) и (12) позволяют сравнивать различные варианты (по роду и давлению газа) разрядников. В частности, видно, что для заданного газа сопротивление искрового канала падает с ростом давления как $\sim 1/\rho^{2/3}$ ($l_u \sim 1/\rho$). В то же время видно, что применение многоканальных разрядников, значительно снижающих индуктивность (волновое сопротивление)

коммутатора, относительно слабо снижает его сопротивление (при заданном токе). При N каналах $R_u(N) = \frac{1}{\sqrt{N}} R_u(1)$

Использование полученных формул облегчает расчет амплитуд и длительностей импульсов тока и напряжения в наносекундных генераторах релятивистских электронных пучков с газовыми разрядниками. Расчеты, проведенные нами для режима с $R_H = \text{const}$, дали хорошее совпадение с экспериментальными результатами (рис.5).

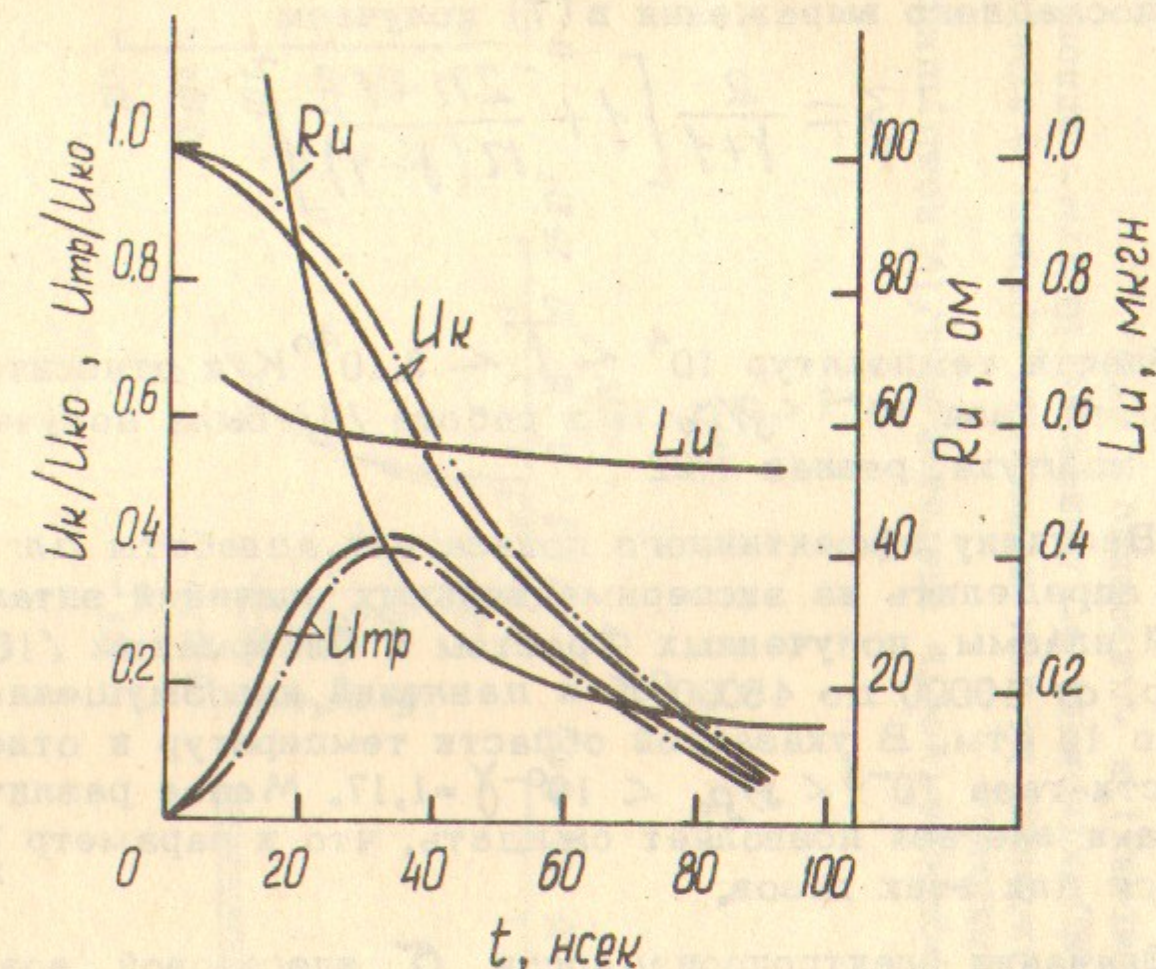


Рис.5. Расчетные (сплошные) и экспериментальные (штрихпунктирные) кривые изменения напряжений на высоковольтном электроде и трубке в режиме $R_H = 1200 \text{ ом}$. Показаны также расчетные кривые $R_u(t)$ и $L_u(t)$.

Приложение

Анализируя выражение (7) для параметра ζ , авторы работ /3,11/ показали, что его можно считать постоянным во времени. Это следует из установленного в работах /11-13/ факта, что расширение видимой части канала в период интенсивного выделения энергии в нем можно приближенно описывать степенной функцией $a_u \approx A t^n$, где A и n - постоянные. При подстановке последнего выражения в (7) получаем

$$\zeta = \frac{2}{\gamma+1} \left[1 + \frac{2n-1}{n(\gamma-1)} \right] \quad (П1)$$

Для области температур $10^4 < T < 3 \cdot 10^4$ К и относительных плотностей газа $10^{-4} < \rho/\rho_0 < 10$ в работе /4/ была получена величина ζ для воздуха, равная 1,22.

Величину эффективного показателя адиабаты для элегаза можно определить из экспериментальных значений энтальпии элегазовой плазмы, полученных Фростом и Либерманом /10/ для температур, от 10000 до 45000°К и давлений невозмущенного газа от 1 до 16 атм. В указанной области температур и относительной плотности газа $10^{-3} < \rho/\rho_0 < 10^0$ $\gamma = 1,17$. Малое различие γ для воздуха и элегаза позволяет ожидать, что и параметр ζ мало отличается для этих газов.

Значения электропроводности σ элегазовой, воздушной и азотной плазмы в зависимости от температуры при различных давлениях невозмущенных газов рассчитаны в работах /10,14,15/ и приведены на рис.6. Видны слабая зависимость электропроводности от давления и близкие значения σ для разных газов. При $T > 2$ эв, электропроводность меняется мало и может считаться практически постоянной. Температура плазмы канала при сравнительно малой скорости выделения энергии в канале, но при близкой к нашим режимам общей величине энергии на единицу длины по данным /16/ находится в пределах 3,6 - 5,3 эв. В работе /6/ величина σ в течение первого полупериода тока также принималась постоянной. По представлениям авторов работы /7/ резкое изменение σ в канале ($T < 2$ эв) имеет место в период формирования канала.

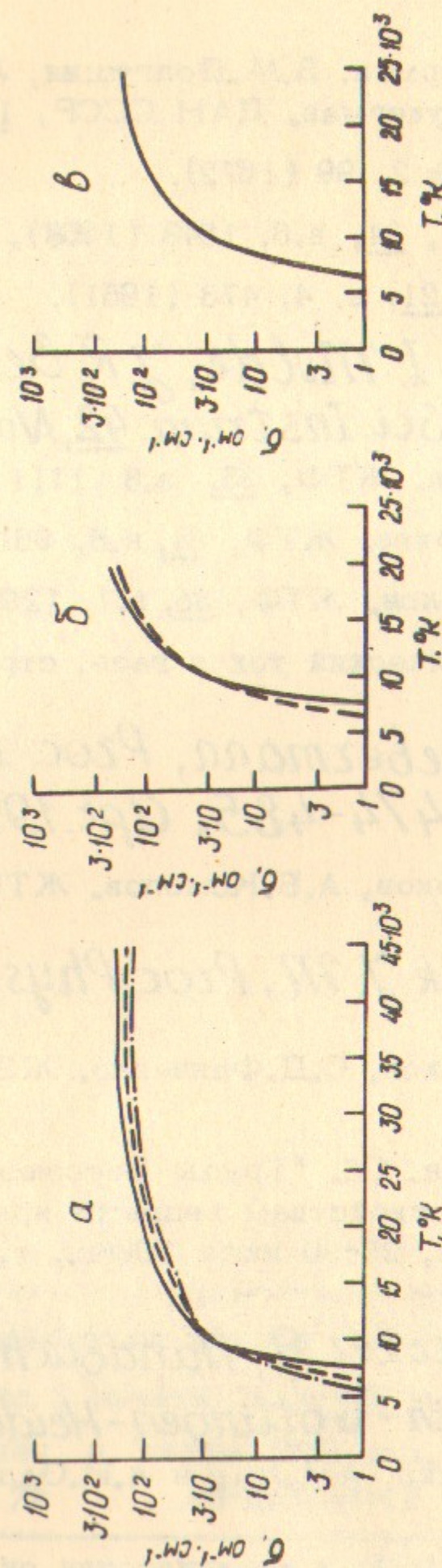


Рис.6. Электропроводность элегазовой-а/10, воздушной-б/14 и азотной-в /15/ плазмы.
а - давление 16 атм - сплошная кривая, 4 атм - пунктирная, 1 атм - штрихпунктирная; б - давление 10 атм - сплошная кривая, 1 атм - пунктирная; в - давление 1 атм.

Л и т е р а т у р а

1. Е.А.Абрамян, С.Б.Вассерман, В.М.Долгушин, Л.А.Моркин, О.П.Печерский, В.А.Цукерман, ДАН СССР, 192, № 1, 1970.
2. С.Б.Вассерман, ПТЭ, № 2, 99 (1972).
3. С.И.Брагинский, ЖЭТФ, 34, в.6, 1548 (1958).
4. С.И.Драбкина, ЖЭТФ, 21, в. 4, 473 (1951).
5. *J. J. Moriarty, H. I. Milde, J. R. Bettis and A. H. Guenther, Rev. Sci. Instrum. 42, No. 12, 1767 (1971).*
6. С.И.Андреев, Б.И.Орлов, ЖТФ, 35, в.8, 1411 (1965).
7. С.И.Андреев, М.П.Ванюков, ЖТФ, 31, н.8, 961, (1961).
8. С.И.Андреев, Б.М.Соколов, ЖТФ, 35, в.7, 1295 (1965).
9. В.Л.Грановский, Электрический ток в газе, стр.116, М., изд. "Наука", 1971.
10. *L. S. Frost, R. W. Liebermann, Proc. IEEE, vol. 59, No. 4, p.p. 474-485, Apr. 1971.*
11. С.И.Андреев, М.П.Ванюков, А.Б.Комолов, ЖТФ, 32, в. 1, 57 (1962).
12. *Higham J. B., Meek J. M., Proc. Phys. Soc., B63, 649 (1950).*
13. Б.А.Демидов, Ю.А.Скачков, С.Д.Фавченко, ЖЭТФ, 40, в.2, 385 (1961).
14. П.П.Кулик, Н.В.Ермохин. Сб. "Труды Всесоюзной конференции по теплофизическим свойствам веществ при высоких температурах", Новосибирск, 25-30 июля 1966г., т.2, М., Изд. стандартов, 1969.
15. *Finkelburg W., Maesker H., Handbuch der Physik, Bd. XXII, S. 352, Berlin-Göttingen-Heidelberg, 1956.*
16. В.Ф.Егорова, В.И.Исаенко, А.А.Мак и А.И.Садыкова, ЖТФ, 32, в.3, 330 (1962).

Ответственный за выпуск С.Н.Родконов

Подписано к печати 22. III-73 г. МН 08114

Усл. 1,0 печ. л. тираж 200 экз. Бесплатно.

Заказ № 76 ПРЕПРИНТ

Отпечатано на ротационной машине в ИЯФ СО АН СССР, вг